



2. Scheinbare Bewegung in Bezug auf einen beliebig bewegten Raum. 49

Geraden  $CMD$  abmisst. Schneidet ein durch  $H$  gelegter Kreisbogen mit dem Mittelpunkt  $M$  den Halbmesser  $MF$  in  $A$ , so ist  $A$  ein Punkt der scheinbaren Bahnlinie. Denn es muss der Geraden  $CMD$ , auf der sich der Punkt bewegt, eine Drehung um  $M$  erteilt werden, welche der wahren Drehung der Scheibe gleich und entgegengesetzt ist.

Setzt man  $\sphericalangle CMA = \vartheta$ ,  $MA = x$ ,  $CM = r$ , so ist

$$r - x = vt; \quad \vartheta = \omega t;$$

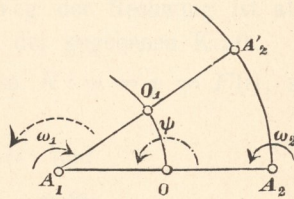
daraus entsteht

$$x = r - \frac{v}{\omega} \vartheta;$$

diese Gleichung bedeutet, weil die Beziehung zwischen  $x$  und  $\vartheta$  linear ist, eine archimedische Spirale. Die scheinbare Geschwindigkeit  $w$  im Punkt  $A$  ist die Diagonale eines Rechtecks aus  $v$  in der Richtung  $AM$  und dem dazu rechtwinkligen  $x\omega$ . — Zur Bestimmung der scheinbaren Beschleunigung ist zu bedenken, dass  $p = 0$ , weil die wahre Bewegung gleichförmig erfolgt; daher muss  $p_1 \equiv (-p_2)$ ,  $(-p_3)$  sein. Es bedeutet darin  $-p_2$  die Centrifugalbeschleunigung  $x \cdot \omega^2$ , in der Richtung  $MA$ , d. h. rechtwinklig zu  $KL = x \cdot \omega$  (Fig. 57, rechts unten) aufgetragen. Es ist  $p_3 = 2w \cdot \omega$ , weil  $\alpha = 90^\circ$  ist. Richtung und Sinn von  $p_3$  stimmt überein mit der Bewegung des Endpunkts von  $w \cdot dt$ , also auch von  $w$  bei einer Drehung um  $A$  mit der Winkelgeschwindigkeit  $\omega$  der Scheibe, d. h. rechts herum. Daher ist  $+p_3$  rechtwinklig zu  $w$  nach unten,  $-p_3$  also nach oben gerichtet. Hiermit ist  $p_1$  bestimmt. Verlängert man in dem Geschwindigkeitsdreieck (Fig. 57, rechts unten)  $LJ$  nach links um  $JJ_1 = w$  und zieht  $J_1K$ , so ist  $\triangle J_1KL \sim \triangle RNQ$ , denn es ist  $QN \perp KL$ ;  $RQ \perp LJ_1$ , mithin  $\sphericalangle NQR = \sphericalangle KLJ_1$  und ausserdem  $NQ = \omega \cdot \overline{KL}$ ,  $QR = \omega \cdot \overline{LJ_1}$ ; daher wird  $p_1 \perp J_1K$  und  $p_1 = \omega \cdot \overline{J_1K}$ . Es weicht  $p_1$  von seiner normalen Seitenbeschleunigung  $p_n (\perp w)$  nach links ab, d. h. die scheinbare Bewegung geschieht mit tangentialer Verzögerung, wie es sein muss, da  $x\omega$  bei Annäherung an die Mitte kleiner wird, mithin  $w$  abnehmen muss.

**Beispiel 2:** Zwei Körper  $K_1$  und  $K_2$  drehen sich um Parallelachsen  $A_1$  und  $A_2$  (Fig. 58) mit den Winkelgeschwindigkeiten  $\omega_1$  und  $\omega_2$  entgegengesetzten Sinnes. Es soll die scheinbare Bewegung von  $K_2$  in Bezug auf  $K_1$  gesucht werden. Zu diesem Zwecke hat man  $K_2$  ausser seiner Drehung  $\omega_2$  noch eine Drehung  $\omega_1$ , entgegengesetzt der Bewegung von  $K_1$ , d. h. mit  $\omega_2$  gleichen Sinnes, zu erteilen, wie bei  $A_1$  punktirt angegeben. Diese beiden Drehungen um  $A_1$  und  $A_2$  lassen sich nach S. 31 für jeden Augenblick vertauschen mit einer Drehung um eine Achse  $O \parallel A_1$  mit der Winkelgeschwindigkeit  $\psi = \omega_1 + \omega_2$ , u. zw. ist

Fig. 58.



$$\frac{OA_1}{OA_2} = \frac{\omega_2}{\omega_1}.$$

Nach der Zeit  $t$  hat die Achse  $A_2$  sich in ihrer scheinbaren Bewegung nach  $A_2'$  bewegt, wenn  $A_2A_1A_2' = \omega_1 t$  ist. Dann liegt, wenn  $\omega_1$  und  $\omega_2$  sich nicht ändern, die augenblickliche Drehachse bei  $O_1$ . Der Cylinder  $OO_1$  mit der Achse  $A_1$  und dem Halbmesser  $A_1O$  ist der Ort der augenblicklichen Drehachsen, und da  $O$  auch von  $A_2$  einen unveränderlichen Abstand hat, so ist ein mit dem Körper  $K_2$  verbundener Cylinder  $PP_1$  (Fig. 59) der Ort derjenigen Geraden des Körpers  $K_2$ , welche der Reihe nach mit den augenblicklichen Drehachsen  $O, O_1 \dots$  zusammenfallen. Die scheinbare Bewegung von  $K_2$  in Bezug auf  $K_1$  ist nach S. 19 ein Rollen des Cylinders  $PP_1$  auf dem Cylinder  $OO_1$ . Sind diese Cylinderflächen an den Körpern tatsächlich vorhanden, so haben sie an der Berührungsstelle stets die Gleitgeschwindigkeit Null. Es beruht auf diesem Verhalten die Lehre von der Verzahnung der Zahnräder.

Fig. 59.

